

УДК 621.9.044

*Г.И. КОСТЮК, Ю.С. ПАНЧЕНКО***ЭФФЕКТИВНОСТЬ ПОЛУЧЕНИЯ НАНОСТРУКТУР НА ИНСТРУМЕНТАЛЬНОЙ СТАЛИ У12 ЗА СЧЕТ ДЕЙСТВИЯ ЛАЗЕРНОГО ИЗЛУЧЕНИЯ**

На основе решения совместной задачи теплопроводности и термоупругости в зоне действия лазерного излучения исследованы поля температур, температурных напряжений, скоростей роста температуры и, с учетом критериев образования наноструктур, определены эффективные технологические параметры для получения наноструктур. По объемам наноструктур определены размеры зерна, что позволило оценить эффективные технологические параметры, необходимые для получения наноструктур. Показано, что полученные наноструктуры могут существенно повысить физико-механические характеристики инструментальной стали У12, что позволит использовать её вместо быстрорежущих сталей.

Ключевые слова: эффективность получения наноструктур, поля температур, температурные напряжения, скорость роста температуры, размер зерна, объем зерна.

На основі рішення спільної задачі теплопровідності та термопружності в зоні дії лазерного випромінювання досліджені поля температур, температурних напружень, швидкостей росту температури і, з урахуванням критеріїв освіти наноструктур, визначено ефективні технологічні параметри для отримання наноструктур. За обсягами наноструктур визначені розміри зерна, що дозволило оцінити ефективні технологічні параметри, необхідні для отримання наноструктур. Показано, що отримані наноструктури можуть істотно підвищити фізико-механічні характеристики інструментальної сталі У12, що дозволить використовувати її замість швидкорізальних сталей.

Ключові слова: ефективність отримання наноструктур, поля температур, температурні напруги, швидкість зростання температури, розмір зерна, обсяг зерна.

Based on the decision of joint problem of heat conduction and thermoelasticity in laser action zone investigated temperature field, thermal stress, temperature and growth rates, taking into account the criteria of formation of nanostructures defined effective technological options for nanostructures. On volumes of nanostructures defined grain sizes, which allowed us to estimate the effective process parameters required to produce nanostructures. It is shown that the resulting nanostructures can significantly improve the physical and mechanical properties of tool steel U12, which will use it instead of the high-speed steels.

Keywords: efficiency of production of nanostructures, temperature field, thermal stress, temperature, growth rate, grain size, the volume of grain.

Введение. Во всём мире большое количество лазерных установок не находят эффективного применения, так как появляются более совершенные, к использованию которых стремятся производители, а использование этих установок для получения наноструктур (НС) может дать им вторую жизнь. Наноструктуры могут существенно увеличить износостойкость за счет повышения микротвердости поверхностного слоя. Повышение предела текучести увеличит возможность воспринимать большие изгибные нагрузки, а образование слоя с остаточными сжимающими напряжениями может повысить усталостную прочность. Применение наноструктур снижает модуль упругости, что позволяет работать материалу с высокими относительными перемещениями, причем снятие нагрузки не даст изменения ни по размерам, ни свойствам материала.

Всё это говорит о возможности использовать результаты данного исследования в машиностроении.

Работа выполнена в рамках программы Министерства образования и науки Украины «Новые и ресурсосберегающие технологии в энергетике, промышленности и агропромышленном комплексе» (подсекция 13 «Аэрокосмическая техника и транспорт») и по темам: «Создание физико-технических основ повышения качества материалов аэрокосмических конструкций» и «Разработка технологических основ интегрированных технологий плазменно-ионной обработки деталей аэрокосмической техники» (подсекция 6 «Физико-технические проблемы материаловедения»), «Концепция создания наноструктур, нано- и традиционных покрытий с учетом влияния адгезии на эффективность и работоспособность дета-

лей АТ, АД и РИ», «Экспериментально-теоретическое исследование получения наноструктур при действии ионных и светолучевых потоков на конструкционные материалы и РИ», хозяйственных работ и договоров о сотрудничестве.

Состояние вопроса. Не смотря на литературный бум в области нанотехнологии [1...11] исследованию вопроса получения наноструктур за счет использования лазерного излучения (ЛИ) практически нет. Всё это говорит о необходимости проведения таких исследований как теоретического, так и экспериментального плана.

Будет проведено теоретическое исследование на основе решения совместной задачи теплопроводности и термоупругости, а так же с учетом энергии кристаллизации НС. Очевидно, необходимо определять теплофизические и термомеханические характеристики материала как стохастическим, так и квантово-механическим методом.

Всё это позволит существенно приблизить физическую и расчетную картины процессов при действии лазерного излучения, а, следовательно, повысит точность расчета технологических параметров лазера для получения НС, что в свою очередь говорит об актуальности, важности и своевременности проводимого исследования.

Теоретическая модель и постановка задачи исследования. Методом двойной прогонки решалась совместная задача теплопроводности и термоупругости, причем на первом полушаге рассчитывались температуры, далее по этим температурам определялись температурных напряжений, а, следовательно, и энергия деформирования, с учётом которой определялась

© Г.И. Костюк, Ю.С. Панченко, 2017

температура в конце первого шага. На каждом шаге процедура повторялась. В результате решения этой задачи получены поля температур, температурные напряжения и скорости роста температуры; с учетом

их значений и критериев образования наноструктур оценивалась область детали, где образуются НС, а значит, определялся объём наноструктуры, по которому оценивался размер зерна.

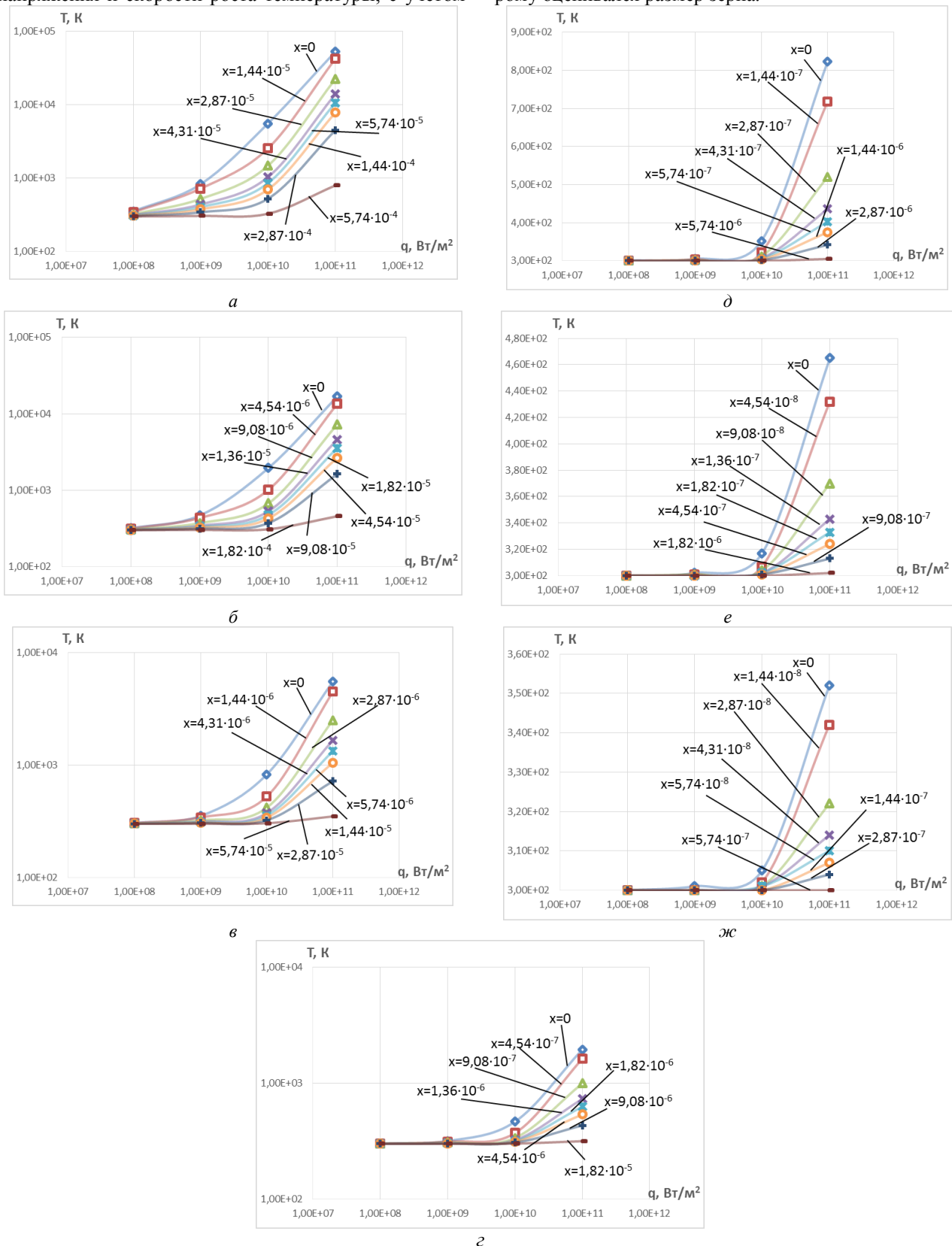


Рис. 1 – Зависимость максимальной температуры в зоне действия лазерного излучения на У12 от плотности теплового потока на разных глубинах при времени действия: а – $t=10^{-4}$ с; б – $t=10^{-5}$ с; в – $t=10^{-6}$ с; г – $t=10^{-7}$ с; д – $t=10^{-8}$ с; е – $t=10^{-9}$ с; ж – $t=10^{-10}$ с

Результаты расчетов и их обсуждение. На основе исследования температурных полей построены зависимости максимальной температуры от плотности теплового потока ($10^8 \dots 10^{11}$ Вт/м²) и при действии лазерного излучения (рис. 1) за время а – $t=10^{-4}$ с; б – $t=10^{-5}$ с; в – $t=10^{-6}$ с; г – $t=10^{-7}$ с; д – $t=10^{-8}$ с; е – $t=10^{-9}$ с; ж – $t=10^{-10}$ с.

Видно, что при больших временах действия 10^{-4} , 10^{-5} с существует довольно широкая область плотностей тепловых потоков, для которых есть возможность реализации наноструктур на разных глубинах (рис. 1 а, б), тогда как со снижением времени действия до 10^{-6} , 10^{-7} с эта область перемещается в сторону больших тепловых потоков 10^{10} , 10^{11} Вт/м². Дальнейшее снижение времени действия приводит к тому, что практически только при действии ЛИ с плотностью теплового потока 10^{11} Вт/м² есть невысокая вероятность получения НС и то только на небольшой глубине вблизи поверхности.

Для оценки возможности получения НС за счет скорости роста температуры было проведено исследование влияния теплового потока ($10^8 \dots 10^{11}$ Вт/м²) при временах 10^{-10} и 10^{-4} с, результаты которого представлены на рис. 2. Анализ результатов показывает, что практически для всех исследованных режимов этот критерий выполняется, так как скорость роста температуры превышает 10^7 К/с (рис. 2).

Так как температурные напряжения могут ускорять образование наноструктур при $10^7 \dots 10^9$ Па и даже могут непосредственно образовывать наноструктуры (более 10^{10} Па), то были рассчитаны максимальные температурные напряжения, которые могут действовать в зоне облучения.

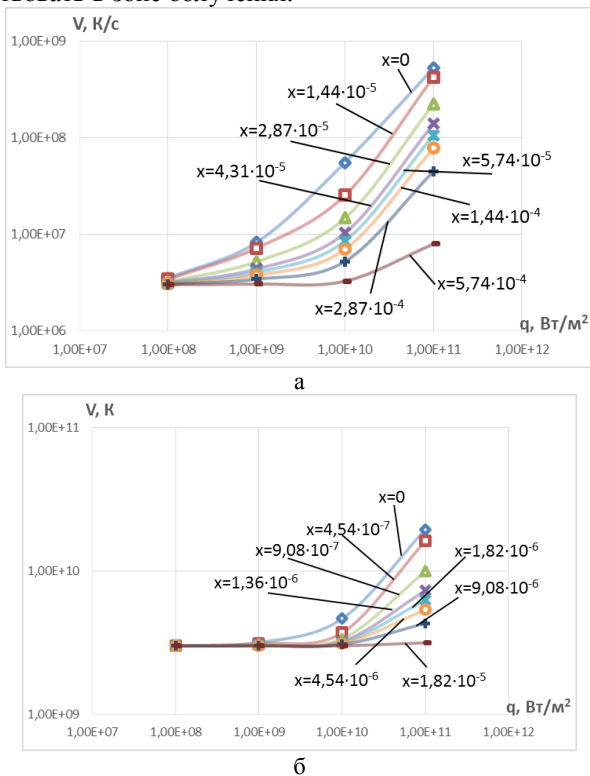


Рис. 2 – Зависимость скорости изменения температуры в зоне действия лазерного излучения на У12 от плотности теплового потока на разных глубинах при времени действия: а – $t=10^{-4}$ с; б – $t=10^{-5}$ с; в – $t=10^{-6}$ с; г – $t=10^{-7}$ с; д – $t=10^{-8}$ с; е – $t=10^{-9}$ с; ж – $t=10^{-10}$ с

Исследованы зависимости температурных напряжений в зоне действия лазерного излучения на инструментальную сталь У12 от плотности теплового потока на разных глубинах (рис. 3) при временах действия а – $t=10^{-4}$ с; б – $t=10^{-5}$ с; в – $t=10^{-6}$ с; г – $t=10^{-7}$ с; д – $t=10^{-8}$ с; е – $t=10^{-9}$ с; ж – $t=10^{-10}$ с. Видно, что при больших временах действия ЛИ 10^{-4} , 10^{-5} с есть режимы при тепловых потоках 10^{10} и тем более 10^{11} Вт/м², когда возможно получение НС за счет действия температурных напряжений. В остальных режимах и на больших глубинах есть возможность ускорить образование НС за счет температурных напряжений.

Снижение времени действия ЛИ приводит к тому, что при временах $10^{-6} \dots 10^{-8}$ с есть реальная возможность образования НС за счет действия температурных напряжений (рис. 3 в, г, д). В то же время при временах действия 10^{-9} , 10^{-10} с практически только на поверхности и то при действии теплового потока 10^{11} Вт/м² есть возможность ускорения образования НС. В остальных режимах температурные напряжения не приводят к росту скорости образования НС.

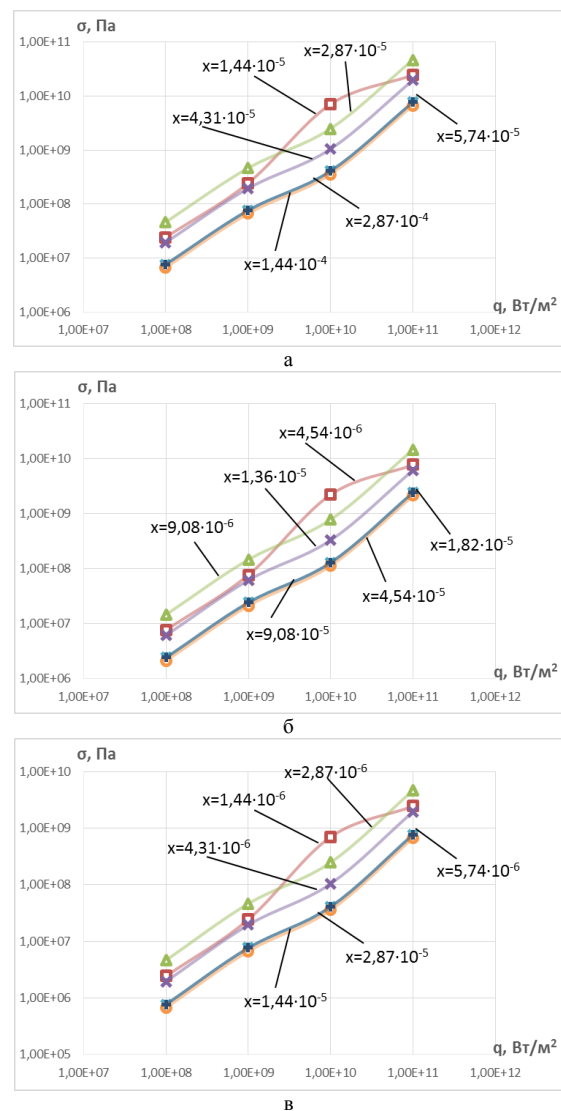
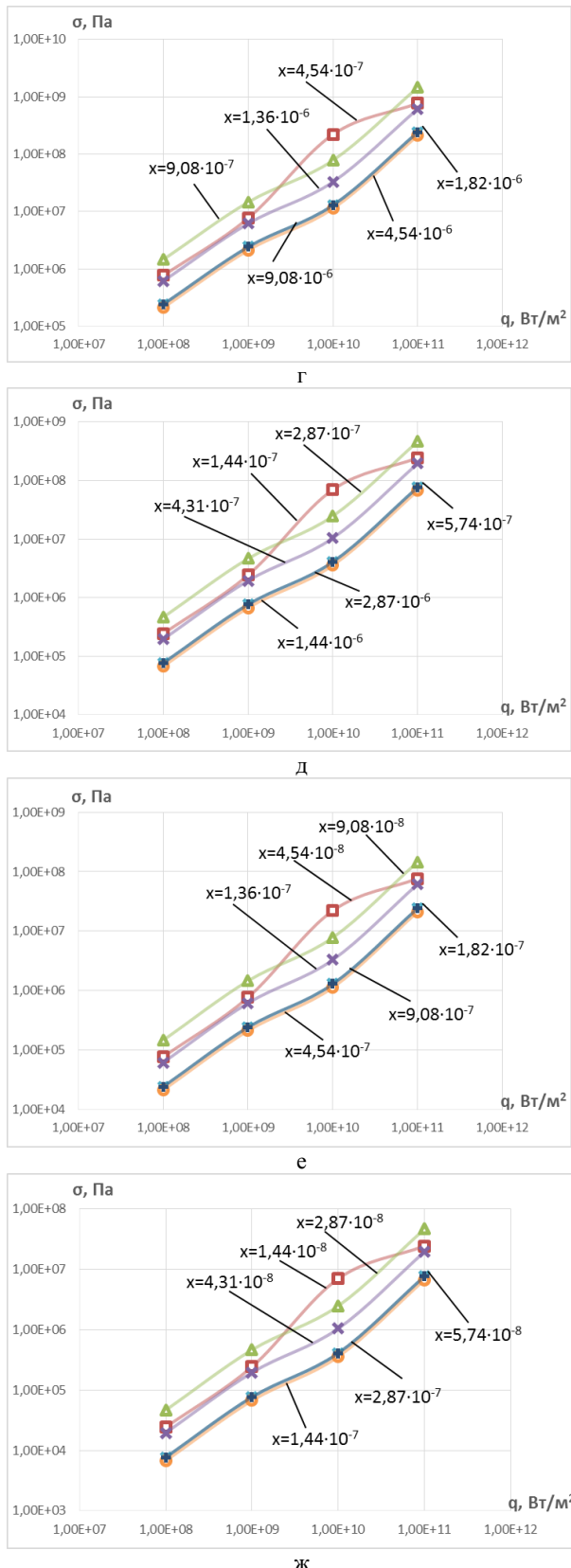


Рис. 3 – Зависимость температурных напряжений в зоне действия лазерного излучения на У12 от плотности теплового потока на разных глубинах при времени действия: а – $t=10^{-4}$ с; б – $t=10^{-5}$ с; в – $t=10^{-6}$ с; г – $t=10^{-7}$ с; д – $t=10^{-8}$ с; е – $t=10^{-9}$ с; ж – $t=10^{-10}$ с



Для решения вопроса о выборе технологических параметров для получения НС были построены зависимости объёма нанокластера от минимальной (а) и максимальной (б) глубины его залегания при действии ЛИ с различной плотностью теплового потока на У12 при радиусе пятна 10^{-6} м (рис. 4) и радиусе $5 \cdot 10^{-7}$ м (рис. 5). Видно, что есть наиболее реальная

возможность получения НС при радиусе пятна $5 \cdot 10^{-7}$ м.

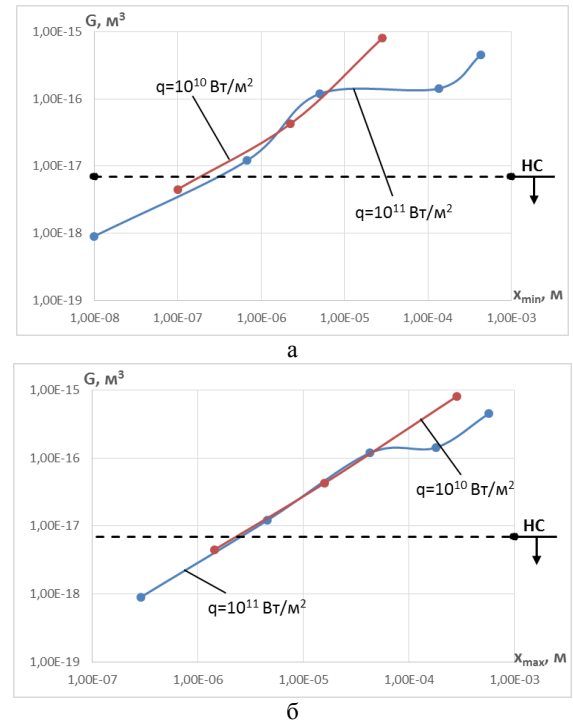


Рис. 4 – Зависимость объёма нанокластера $R=10^{-6}$ м от: а – минимальной; б – максимальной глубины при действии лазерного излучения с различной плотностью теплового потока q

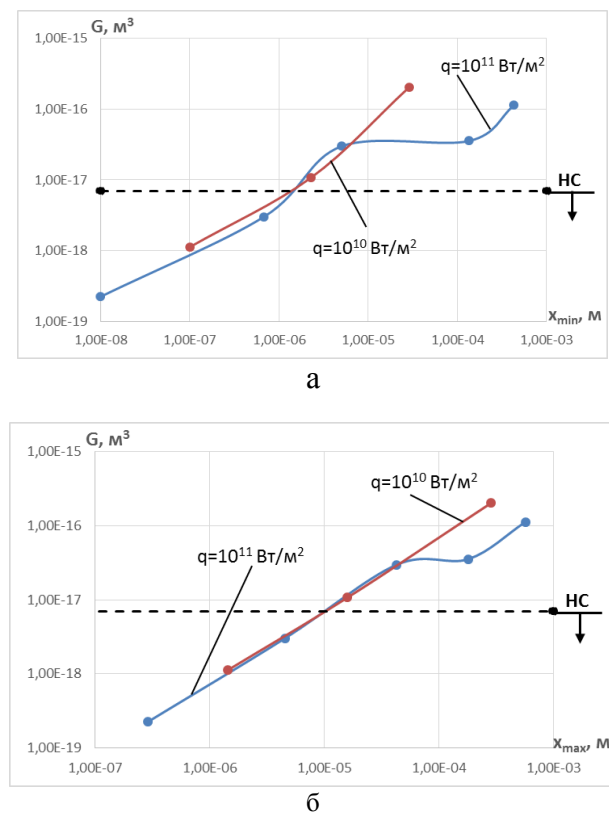


Рис. 5 – Зависимость объёма нанокластера $R=5 \cdot 10^{-7}$ м от: а – минимальной; б – максимальной глубины при действии лазерного излучения с различной плотностью теплового потока q

Для экспресс-оценки возможности получения наноструктур были построены зависимости объёма нанокластера от плотности теплового потока ЛИ и времени его действия, где представлены зоны технологических параметров, при которых получают НС для радиуса пятна 10^{-6} м (рис. 6) и радиусе $5 \cdot 10^{-7}$ м (рис. 7). Видно, что эти зоны относительно не велики, а значит и выбор технологических параметров осложняется тем, что при нестабильности технологических параметров есть возможность получения вместо наноструктур субмикро- и микроструктур. Всё это говорит о том, что необходимо иметь лазеры с улучшенными технологическими параметрами для увеличения зоны, технологических параметров в которой реально возможность получать наноструктуры.

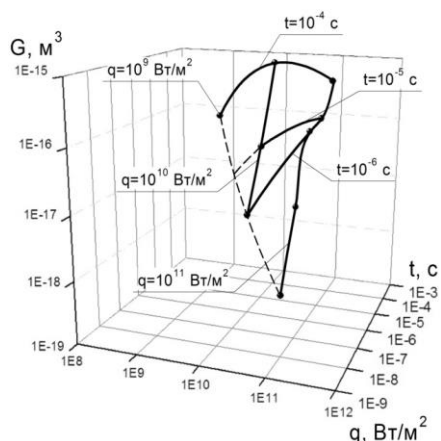


Рис. 6 – Зависимость объёма нанокластера от плотности теплового потока лазерного излучения – q и времени его действия t в зоне, где образуются наноструктуры ($R=10^{-6}$ м)

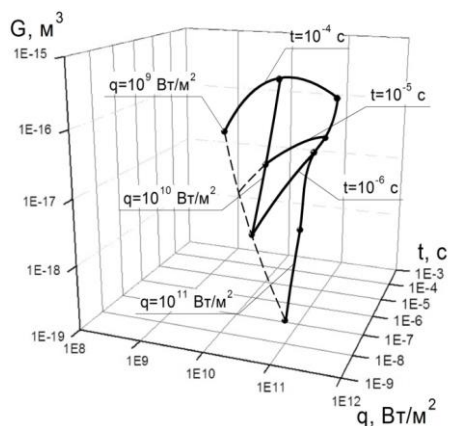


Рис. 7 – Зависимость объёма нанокластера от плотности теплового потока лазерного излучения – q и времени его действия t в зоне, где образуются наноструктуры ($R=5 \cdot 10^{-7}$ м)

Выводы.

1. Исследование температур в зоне действия излучения и температурных напряжений показало, что есть такие технологические параметры, при которых можно получить НС за счет реализации требуемого диапазона температур (500...1500 К) или в случае превышения температурных напряжений над 10^{10} Па. По скорости роста температуры при исследован-

ных параметрах ЛИ этот критерий достигается автоматически.

2. Показано, что применение пространственных картин зависимости объёма нанокластера от плотности теплового потока и времени его действия могут позволить быстро найти технологические параметры, при которых есть вероятность получения наноструктур.

Список литературы

1. Костюк, Г. И. Эффективный режущий инструмент с нанопокрывтиями и наноструктурными модифицированными слоями: Монография-справочник: в 2 кн./Г.И. Костюк – Х.: «Планета-Принт», 2016. – Кн.1. Плазменно-ионные и ионно-лучевые технологии. – 735 с.
2. Костюк, Г. И. Нанотехнологии: выбор технологических параметров и установок, производительность обработки, физико-механические характеристики наноструктур [Текст]: моногр. / Г. И. Костюк. – К.: Изд. центр Междунар. академии наук и инновац. технологий, 2014. – 472 с.
3. Костюк, Г. И. Нанотехнологии: теория, эксперимент, техника, перспективы [Текст]: моногр. / Г. И. Костюк. – К.: Изд. центр Междунар. академии наук и инновац. технологий, 2012. – 648 с.
4. Костюк, Г. И. Наноструктуры и нанопокрывтия: перспективы и реальность [Текст]: учеб.пособие / Г. И. Костюк. – Х.: Нац. аэрокосм. ун-т «Харьк. авиац. ин-т», 2009. – 406 с.
5. Костюк, Г. И. Научные основы создания современных технологий [Текст]: учеб.пособие / Г. И. Костюк. – Х.: Нац. аэрокосм. ун-т «Харьк. авиац. ин-т», 2008. – 552 с.
6. Костюк, Г. И. Эффективный режущий инструмент с покрытием и упрочненным слоем [Текст]: моногр.-справ. / Г. И. Костюк. – Х.: Нац. аэрокосм. ун-т «Харьк. авиац. ин-т», 2007. – 633 с.
7. Костюк, Г. И. Эффективный режущий инструмент с покрытием и упрочненным слоем [Текст]: справ. / Г. И. Костюк. – К.: Вид-во АИИУ, 2003. – 412 с.
8. Гречихин, Л. И. Физика наночастиц и нанотехнологий [Текст] / Л. И. Гречихин. – М.: УП «Технопринт», 2004. – 397 с.
9. Аксенов, И. И. Вакуумная дуга в эрозийных источниках плазмы [Текст] / И. И. Аксенов. – Х.: Изд-во НИИ «ХФТИ», 2005. – 211 с.
10. Гусев, А. И. Наноматериалы, наноструктуры, нанотехнологии [Текст] / А. И. Гусев. – М.: Физматлит, 2005. – 416 с.
11. Андриевский, Р. А. Наноматериалы: концепция и современные проблемы [Текст] / Р. А. Андриевский // Физика металлов и металловедение. – 2003. – Т. 91, № 1. – С.50 – 56.

Bibliography (transliterated)

1. Kostyuk, G.I. Effektivnyy rezhushchiy instrument s pokrytiyem i uprochnennym sloyem [Tekst]: sprav. G.I. Kostyuk. Kiev. Vid-vo «Planeta print», 2016. - 735 p.
2. Kostyuk, G.I. Nanotekhnologii: vybor tekhnologicheskikh parametrov i ustanovok, proizvoditel'nost' obrabotki, fiziko-mekhanicheskiye kharakteristiki nanostruktur [Tekst]: monogr. G.I. Kostyuk. Kiev. Izd. tsentr Mezhdunar. akademii nauk i innovats. tekhnologiy, 2014. - 472 p.
3. Kostyuk, G.I. Nanotekhnologii: teoriya, eksperiment, tekhnika, perspektivy [Tekst]: monogr. G.I. Kostyuk. Kiev.: Izd. tsentr Mezhdunar. akademii nauk i innovats. tekhnologiy, 2012. - 648 p.
4. Kostyuk, G.I. Nanostrukturny i nanopokrytiya: perspektivy i real'nost' [Tekst]: ucheb.posobiye. G.I. Kostyuk. Kharkov. Nats. aerokosm. un-t «Khar'k. aviats. in-t », 2009. 406 p.
5. Kostyuk, G.I. Nauchnyye osnovy sozdaniya sovremennykh tekhnologiy [Tekst]: ucheb.posobiye G.I. Kostyuk. Kharkov. Nats. aerokosm. un-t «Khar'k. aviats. in-t », 2008. - 552 p.
6. Kostyuk, G.I. Effektivnyy rezhushchiy instrument s pokrytiyem i uprochnennym sloyem [Tekst]: monogr.-sprav. G.I. Kostyuk. Kharkov. Nats. aerokosm. un-t «Khar'k. aviats. in-t », 2007. - 633 p.
7. Kostyuk, G.I. Effektivnyy rezhushchiy instrument s pokrytiyem i uprochnennym sloyem [Tekst]: sprav. G.I. Kostyuk. - Kiev. Vid-vo AINU, 2003. - 412 p.
8. Grechikhin, L.I. Fizika nanochastits i nanote-khnologiy [Tekst] / L.I. Grechikhin. - Moscow. UP «Tekhnoprint», 2004. - 397 p.
9. Aksekov, I.I. Vakuumnaya duga v erozionnykh istochnikakh plazmy

[Tekst] / I.I. Aksenov. Kharkov: Izd-vo NII «KHFTI», 2005. 211 p.
 10. Gusev, A.I. Nanomaterialy, nanostruktury, nanotekhnologii [Tekst] / A.I. Gusev. - Moscow. Fizmatlit, 2005. 416 p.

11. Andriyevskiy, R.A. Nanomaterialy: kontsepsiya i sovremennyye problemy [Tekst] R.A. Andriyevskiy. Fizika metallov i metallovedeniye. 2003. Vol. 91, No 1. pp.50 - 56.

Поступила (received) 15.03.17

Бібліографічні описи / Библиографические описания / Bibliographic descriptions

Эффективность получения наноструктур на инструментальной стали у12 за счет действия лазерного излучения / Г. И. Костюк, Ю.С. Панченко // Вісник НТУ «ХПІ». Серія: Технології в машинобудуванні. – Х. : НТУ «ХПІ», 2017. – № 17 (1239). – С. 61–66. – Бібліогр.: 11 назв. – ISSN 2079-004X.

Эффективность получения наноструктур на инструментальной стали у12 за счет действия лазерного излучения / Г. И. Костюк, Ю.С. Панченко // Вісник НТУ «ХПІ». Серія: Технології в машинобудуванні. – Харків : НТУ «ХПІ», 2017. – № 17 (1239). – С. 61–66. – Библиогр.: 11 назв. – ISSN 2079-004X.

Efficiency of obtaining nanostructures on instrumental steel u12 due to the action of laser radiation / G.Kostiuk, Yu.Panchenko // Bulletin of NTU "KhPI". Series: Techniques in a machine industry. – Kharkov : NTU "KhPI", 2017. – No. 17 (1239). – P.61–66. – Bibliogr.: 17. – ISSN 2079-004X.

Відомості про авторів / Сведения об авторах / About the Authors

Костюк Геннадій Ігорович – доктор технічних наук, професор, професор Національного аерокосмічного університету «Харківський авіаційний інститут», тел.: (057)-788-42-06, e-mail: g.kostyuk206@yandex.ru;

Костюк Геннадій Ігорович – доктор технических наук, профессор Национального аэрокосмического университета им. Н. Е. Жуковского «ХАИ», м. Харьков; тел.: (057)-788-42-06, e-mail: g.kostyuk206@yandex.ru;

Kostyuk Gennadiy Igorevich – Doctor of Technical Sciences, Full Professor, National Aerospace University Zhukovsky, tel.: (057)-788-42-06, e-mail: g.kostyuk206@yandex.ru;

Панченко Юлія Сергіївна - студентка кафедри теоретичної механіки, машинознавства і роботомеханічних систем, Національного аерокосмічного університету ім. Жуковського М.Є. «ХАІ», тел. : (057) -788-42-06, e-mail: g.kostyuk206@yandex.ru;

Панченко Юлия Сергеевна – студентка кафедры теоретической механики, машиноведения и роботомеханических систем, Национального аэрокосмического университета им. Жуковского Н.Е. «ХАИ», тел.: (057)-788-42-06, e-mail: g.kostyuk206@yandex.ru;

Panchenko Julia Sergeevna - student of the Department of Theoretical Mechanics, Machine Science and Robot Mechanics, National Aerospace University. Zhukovsky N.E. "KhAI", tel. : (057) -788-42-06, e-mail: g.kostyuk206@yandex.ru.